

## 알루미늄/CFRP 복합재의 플라즈마 표면처리의 효과

신명근\*, 김만태, 한운용, 이지훈 (경희대 대학원 기계공학과)

이경엽 (경희대 테크노공학대학)

### The effect of plasma treatment of aluminum/CFRP composites

M. K. Shin, M. T. Kim, W. Y. Han, J. H. Lee (Mechanical Engineering, Kyung Hee University)

K. Y. Rhee (College of Advanced Technology, Kyung Hee University)

#### ABSTRACT

This paper investigates the effect of plasma treatment of aluminum on the fracture toughness of aluminum/CFRP composites. The surface of the aluminum panel was treated by a DC plasma. The plasma treatment was carried out at volume ratio of acetylene gas to nitrogen gas of 5:5 and the treatment times used was 30 sec. The fracture toughness of plasma-treated aluminum/CFRP composites was compared with that of untreated aluminum/CFRP composites and The fracture surface of aluminum/CFRP composites was compared with SEM. The results showed that fracture toughness of plasma-treated aluminum/CFRP composites was about 50% higher than that of untreated aluminum/CFRP composites.

**Key Words** : Plasma treatment(플라즈마 표면처리), CFRP(탄소섬유강화 복합재), Fracture toughness(파괴인성)

#### 1. 서론

최근 들어 각 산업에서 이종재를 접착제로 접합하여 새로운 구조물로 적용하는 경우가 증가하고 있으며 특히 복합재료는 기계구조에 사용할 경우 반드시 이종재료와 연결된다. 이러한 예로 항공산업에서는 노후된 항공기의 기계 보수 및 수명연장을 위해 복합재에 접착제를 이용하여 균열부위에 접합하는 보수기술을 개발해 적용하고 있다.[1-3]

이종재 구조물의 접합강도 및 내구성은 접착제의 종류, 이종재의 표면상태, 성형방법 등에 의해 영향을 받는 것으로 알려져 있다[4]. 이종재 구조물의 물성특성 향상을 위해 각 분야별로 연구가 이루어졌으며 다양한 재료에 대한 표면처리 연구가 상당히 이루어 졌다.[5-7] 특히 복합재료를 이용한 접착제 접합은 기계적 접합에 비해 넓은 면적에 하중을 고르게 분산시키고 구조요소에 불트나 리벳을 위한 구멍을 뚫 필요가 없다. 이는 구멍이 발생되었을 시 야기되는 응력집중의 문제를 해결하고 추가적인 하중을 지지하지 않으며, 피로저항성도 우수한 뿐만 아니라 경제적 효율을 높이는 데 상당한 영향을 준다.

Baker는 균열이 있는 금속항공부재를 섬유강화 복합재로 보수함으로써 이러한 보수 효과가 균열진전에 미치는 영향을 연구하였으며 이때 필요한 패치(Patch)의 최소두께, 접착조건 및 잔류응력분포들에 대해 발표하였다.[8] 또한 항공기의 균열을 보수하는데 처음으로 boron/epoxy 복합재 패치를 적용하는데 성공하여 기존 보수 방법에 대한 새로운 대안을 제시하였다.[9]

최근에 Rhee는 알루미늄을 플라즈마로 표면처리할 경우 표면처리 안한 경우에 비해 알루미늄/CFRP 복합재의 전단강도는 34% 이상, 필 (Peel) 강도는 5배 이상 향상된다는 것을 발표한 바 있다.[10] 하지만 플라즈마로 표면처리 할 경우에 대한 파괴인성 향상에 대한 연구결과는 발표된 바가 없다.

따라서 본 논문에서는 플라즈마로 표면처리 한 알루미늄과 CFRP와의 접합에서 알루미늄을 플라즈마로 표면처리한 시편의 경우가 파괴인성(Fracture Toughness) 향상에 미치는 영향에 대하여 연구하였으며 이에 대한 원인을 분석하기 위하여 플라즈마로 표면처리 한 시편과 표면처리 하지 않은 시편에 대하여 파단면을 주사현미경을 통하여 비교하였다.

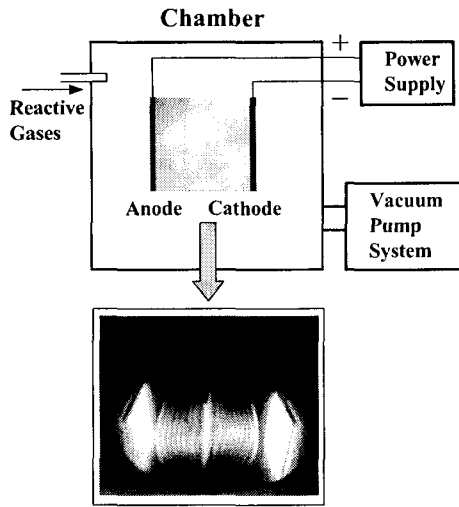


Fig. 1 Schematic diagram for a DC plasma polymerization

## 2. 실험방법

### 2.1 CFRP의 성형

실험에 사용된 CFRP 복합재는 ㈜SK 케미칼에서 생산되는 탄소섬유/에폭시 프리프레그 (USN150)를 사용하였으며 성형은 오토클레이브 (Autoclave) 내에서 프리프레그를 250 mm × 250 mm 크기로 절단한 후 [0°/45°/-45°/0°]<sub>n</sub> 순으로 적층하여 성형하였다. 성형 후 복합재의 두께는 약 3 mm 있으며 이를 120 mm × 25 mm의 크기로 절단하였다. 절단 후의 시편은 표면의 오염물을 제거하기 위하여 아세톤으로 10 분간 초음파 세정을 하였고 다시 에탄올과 삼차증류수로 5분간 초음파 세정을 한 후 표면에 잔류하는 용액을 질소가스(N<sub>2</sub>)를 이용하여 제거하였다.

### 2.2 알루미늄 표면의 DC 플라즈마 처리

알루미늄 시편은 AL 7075 T6를 사용하였으며 알루미늄 시편 표면에 접착력을 향상시키기 위해서 플라즈마로 표면처리 하였다. 시편의 크기는 200 mm × 25 mm × 3 mm로 폭과 두께는 CFRP 복합재와 같게 가공하였고 표면세정도 아세톤, 에탄올, 삼차증류수 순으로 CFRP 표면세정과 같게 초음파로 세척하였다. 플라즈마를 이용한 알루미늄이 표면처리의 가스 혼합비 (C<sub>2</sub>H<sub>2</sub> 대 N<sub>2</sub>)를 5:5로, 처리시간은 30초로 하였다. 이는 선행 연구 결과 C<sub>2</sub>H<sub>2</sub>과 N<sub>2</sub>의 혼합비가 5:5일 때와 표면처리 시간이 30초 일 때 가장 좋은 효율을 가진다고 발표된 바가 있기 때문이다.[10] 플라즈마 처리시 anode와 cathod의 거리는 10 cm, 전압입력은 1 × 10<sup>-5</sup> Torr, 파워는 200 W, 전류는 100 mA, 전압은 800-820 V로 하였다. Fig 1은 DC 플라

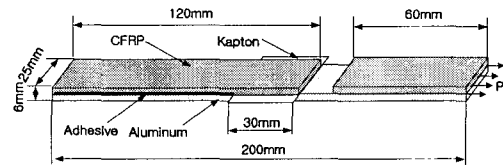


Fig. 2 Configuration of aluminum/CFRP cracked lap shear specimen

즈마 표면처리 장치의 개략도를 나타낸다

### 2.2 CLS(Cracked Lap Shear) 시편제작

알루미늄/CFRP CLS (Cracked Lap Shear) 시편 제작을 위해 접착제는 일경화성 에폭시 수지인 비스페놀 A형 디글리시딜 에테르(Diglycidyl Ether of Bisphenol A-DGEBA, YD-115, ㈜국도화학)와 경화제로 디아닐린(Dianiline, D-230, ㈜국도화학)을 이용하였고 혼합율은 ㈜국도화학에서 제시하는 조건인 YD-115 : G-A0533을 7:3의 수지 혼합비를 적용하여 제조 하였다. 또한 초기크랙 (30 mm)을 형성하기 위해 13 μm의 캡톤막을 랩 (CFRP 복합재)과 스트랩 (알루미늄) 사이에 삽입하였고 접착제의 두께를 균일하게 하여 실험의 오차를 최소로 줄이기 위해 접합시 5 Kg/cm<sup>2</sup>의 하중을 가하여 상온에서 24시간 경화시켰다. 또한 하중점의 불일치로 발생하는 벤딩모멘트에 의해 Instron에 물리는 순간 균열이 발생하는 것을 최소화하기 위해 랩의 두께와 같은 3 mm의 랩을 스크랩의 끝단에 부착하였다. Fig 2는 알루미늄/CFRP CLS 시편의 모습을 나타내고 있다.

### 2.4 파괴시험

파괴시험은 Instron 8516을 사용하여 수행하였으며 Grip 압력은 150 bar로 하였고 grip 거리는 150 mm, 변위조정을 통한 일정 변형율은 0.5 mm/min 하에서 시행하였으며 하중이 가해지는 점의 변형은 Instron에 부착된 LVDT를 이용하여 20 pts/s의 데이터 값을 얻었다.

## 3. 결과 및 고찰

Fig 3은 알루미늄을 플라즈마로 표면처리 한 경우와 표면처리 하지 않은 경우의 알루미늄/CFRP CLS 시편의 하중-변위 선도를 나타낸다. 그래프에 나타나 있듯이 초기에 하중이 변형에 대해 거의 선형적으로 증가함을 알 수 있다. 이는 스트랩에 랩 두께에 같은 CFRP를 부착하므로써 Instron에 물릴때 발생하는 굽힘모멘트가 최소화되었다는 것을 의미한다. 이로써 좀더 정확한 실험 데이터를 얻을 수 있었다. 또한 모든 그래프에서 초기 선형적으로 증가하

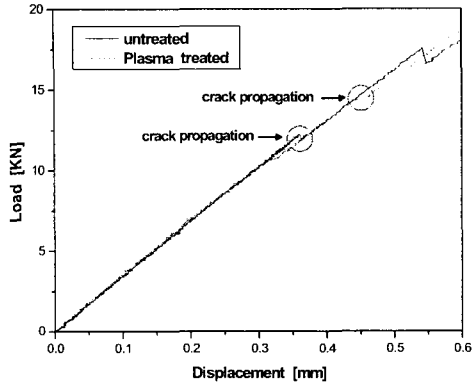


Fig. 3 Load-displacement curves of CLS tests for plasma-treated and untreated aluminum/CFRP composites

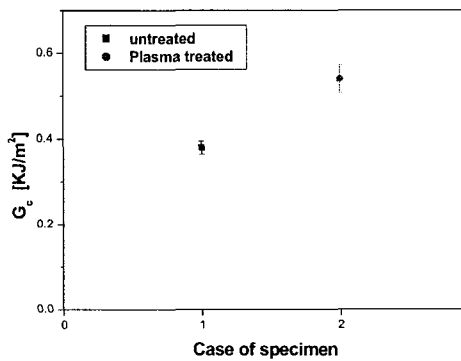


Fig. 4 Comparison of fracture toughness,  $G_c$  for two cases

는 부분의 기울기가 모두 일치하는 것은 CFRP와 알루미늄이 잘 집합되어 있다는 것을 의미한다.

두 경우에 대한 임계하중,  $P_{cr}$  값은 초기균열이 전진할 때의 하중 값으로써 하중-변위 선도증가에 대해 하중이 감소할 때의 하중 값으로 결정하였다. 알루미늄을 표면처리 하지 않은 경우 (12.5 kN)의 경우에 대하여 알루미늄을 플라즈마로 표면처리 한 경우(15 kN)가 20% 이상 증가하였음을 알 수 있다.

Fig 4는 플라즈마 표면처리가 알루미늄/CFRP 복합체의 파괴인성에 미치는 영향을 알기 위해 파괴인성을 측정 비교하여 나타낸 그래프이다. 파괴인성은 일인자 방법을 적용하였으며 이 때 파괴인성은 식 (1)에 의해 결정 할 수 있다.

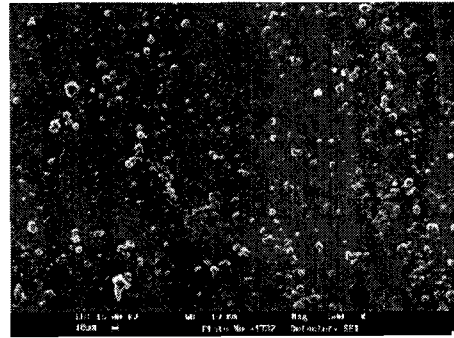


Fig. 5 SEM photograph of fracture surface for untreated aluminum showing an adhesive failure

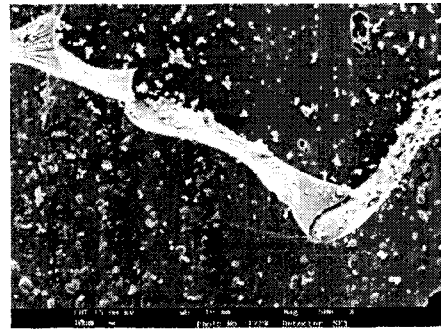


Fig. 6 SEM photograph of fracture surface for plasma-treated aluminum showing a cohesive failure

$$G_c = \frac{\eta_{cl}}{Bb} A_c \quad (1)$$

식 (1)에서 "B"는 시편의 폭 (25 mm)을, "b"는 라가빈트 길이 (90 mm),  $A_c$ 는 임계하중까지의 하중-변위 선도의 면적을 나타내며  $\eta_{cl}$ 은 탄성일인자분 나타낸다. 탄성일인자는 식 (2)에 의해 결정 할 수 있다.

$$\eta_{cl} = 0.44 - 0.33 \frac{a}{L} \quad (2)$$

식 (2)에서 "a"는 균열길이, "L"은 랩의 길이를 나타낸다. 식 (1)과 식(2)의 조합으로 파괴인성  $G_c$  값을 결정할 수 있다.

Fig 4에 그래프에서 알 수 있듯이 플라즈마로 표면처리 하지 않은 시편의 경우  $G_c$  값은  $0.36 \text{ KJ/m}^2$ 인 것에 비하여 플라즈마로 알루미늄을 표면처리 한 경우  $G_c$  값은  $0.54 \text{ KJ/m}^2$ 임을 알 수 있다. 이는 플라즈마 표면처리가 플라즈마 표면처리 하지 않은 경우에 비해 50 % 이상의 파괴인성 값의 향상을 가져온 것을 나타낸다.

플라즈마 표면처리가 파괴인성 향상에 기인한 원인을 규명하기 위하여 알루미늄/CFRP 복합체의 파단면을 주사현미경으로 비교하였다. Fig 5와 6은 플라즈마 처리하지 않은 시편과 알루미늄을 플라즈마로 표면처리 한 시편의 파단면의 사진이다. 알루미늄을 플라즈마 표면처리 하지 않은 Fig 5의 사진을 관찰하여 보면 CFRP와 알루미늄이 접착제와 그대로 분리되는 계면파괴가 일어나 표면이 모두 깨끗하게 분리된 것을 볼 수 있다. 반면 알루미늄을 플라즈마로 표면처리 한 Fig 6에서는 접착제가 파괴되는 Cohesive Failure가 일어 난 것을 볼 수 있다. 이는 플라즈마의 표면처리가 시편의 표면에 젖음성을 높여 주어 계면화산을 도와주고 표면에너지를 증가 시켰으며 표면처리 시 원료기체들이 표면에 극성기를 생성하여 접착제(Adhesive)와의 계면력의 향상을 가져와 더 큰 하중까지 파괴가 일어나지 않았으며 더 큰 파괴인성을 가질 수 있었을 것으로 판단된다.

#### 4. 결론

본 논문에서는 플라즈마 표면처리가 파괴인성 향상에 미친 영향에 대해 다루었다. 본 논문의 결론은 다음과 같다.

- (1) 플라즈마로 알루미늄을 표면처리 한 경우가 표면처리 하지 않은 경우에 비해 임계하중은 20 % 이상 증가하였고, 파괴인성은 50 % 이상 증가하였다.
- (2) 플라즈마로 표면처리 한 경우의 파단면은 접착제가 파괴되는 Cohesive Failure가 발생하였고 이는 플라즈마 원료기체에 의해 표면에 극성이 형성돼 계면력의 향상에 기인한 것으로 사료된다.

#### 참고문헌

1. Denney, J. J. and Mall, S., "Characterization of Disbond Effects on Fatigue Crack Growth Behavior in Aluminum Plate with Bonded Composite Patch," *Engineering Fracture Mechanics*, Vol. 57, pp. 507-525, 1997
2. R. J. Chester., Walker, K. F. and Chalkley, P. D., "Adhesively Bonded Repairs to Primary Aircraft Structure," *International J. of Adhesion and Adhesives*, Vol. 19, pp 1-8, 1999
3. Baker, A. A., "Bonded Composite Repair of Fatigue-Cracked Primary Aircraft Structure," *Composite Structures*, Vol. 47, pp. 431-443, 1999
4. Baker, A. A., and Jones A. A., Editors, *Bonded Repair of Aircraft Structures*, Marinus Nijhoff Publishers, 1998
5. Marceau, J. A., *Phosphoric Acid Anodize, Adhesive Bonding of Aluminum Alloys*, Marcel Dekker, New York, 1985
6. van Ooij, W. J., Sabata, A., Zeik, D. B., Taylor, C. E., Boerio, F. J. and Clarson, S. J., "Metal Surface Preparation by Plasma-Polymerized Films," *J. of Testing and Evaluation*, Vol. 23, pp. 33-40, 1995
7. Molitor, P., Barron, V. and Young, T., "Surface Treatment of Titanium for Adhesive Bonding to Polymer Composites: a Review," *International J. of Adhesion and Adhesives*, Vol. 21, pp. 129-136, 2001
8. Baker, A. A., "Fibre Composite Repair of Cracked Metallic Aircraft Components-Practical and Basic Aspects," *Composites*, vol. 18, pp. 293-308, 1987
9. Baker, A. A., "Crack Patching, Experimental Studies, Practical Applications. In *Bonded Repair of Aircraft Structure*," eds A. A. Baker & R. Jones. Nijhoff, Dordrecht, pp. 107-73, 1988
10. 이경업, 양준호, 최낙삼, "플라즈마를 적용한 알루미늄의 표면처리가 알루미늄/CFRP 복합체의 접합강도에 미치는 영향," *대한기계학회 논문집 A 권*, 제25권, pp. 1981-1987, 2001